


## ТЕХНИЧЕСКИЕ ПАРАМЕТРЫ

- Низкочастотный дефектоскоп композитных материалов **ДАМИ-С** поддерживает импедансный, вихретоковый и ударный методы НК.
- Обнаруживает дефекты в композитных материалах, сотовых структурах, определяет очаги коррозии, поверхностные и внутренние дефекты в неферромагнитных материалах.
- Автоматизирует процесс обнаружения, плотность и структуру материала.
- Использует сухой точечный контакт.
- Является многорежимным.




### ТЕХНИЧЕСКИЕ ПАРАМЕТРЫ ДЕФЕКТОСКОПА ДАМИ С

Диапазон рабочих частот	1кГц - 1МГц
Производительность контроля	не менее 500 измерений/с
Виды сигнализации наличия дефекта	звуковая и световая
Поддержка координатного устройства "Слайдер М2"	все приложения ДАМИ-С09
Максимальный размер С-изображения (С-скана)	500мм x 500мм
Погрешность определения координат преобразователя	не более 1.5мм
Встроенные языки интерфейса	русский и английский
Тип и разрешения экрана	цветной TFTэкран, 320 x 240 пикселей
Режимы вывода графической информации на экран	временная развертка (А-скан); комплексная плоскость; С-скан в декартовых (X,Y) координатах
В архиве прибора сохраняются:	настройки; результаты контроля; снимки А-сканов; снимки комплексной плоскости; снимки С-сканов
Время автономной работы от встроенной аккумуляторной батареи	не менее 8 часов
Диапазон температур эксплуатации	-10°C до +50°C при влажности не более 95%
Степень защиты от проникновения пыли и воды	IP54 по ГОСТ 14254
Масса прибора со встроенным аккумулятором (без сетевого адаптера, сканерного устройства и комплекта преобразователей)	не более 1 кг
Габаритные размеры	не более 135мм x 220мм x 50мм

## ТИПЫ КОНТРОЛИРУЕМЫХ МАТЕРИАЛОВ

Образец материала	Материал	Общая толщина, (мм)	Толщина обшивки (мм)	Площадь дефектов (мм <sup>2</sup> )	Конфигурация дефектов	Глубина залегания дефектов (мм)	Площадь сотовой ячейки (мм <sup>2</sup> )	Рекомендуемые преобразователи
 Имитация дефектов типа непроклея на большой глубине	Органическое стекло	25		200 300 400	Плоскостное сверление	8		<a href="#">РС-1С</a>
 Имитация дефектов типа зажиривания между обшивкой и сотовым наполнителем	Алюминиевый сплав	11	0,5	80 (min)			40	<a href="#">ПАДИ-8-02</a> <a href="#">УДП-10-02</a>
 Имитация дефектов типа непроклея	Органическое стекло	8		49 144 400	Плоскостное сверление	1.6		<a href="#">ПАДИ-8-02</a> <a href="#">УДП-10-02</a>
 Имитация дефектов типа расслоения	Углепластик	10			Клиновидная, параллельно поверхности	5		<a href="#">РС-1-02</a>
 Имитация дефектов типа непроклея между обшивкой и сотовым наполнителем	Алюминиевый сплав	10	0,8	100			48	<a href="#">ПАДИ-8-02</a>
 Имитация дефектов типа непроклея между обшивкой и сотовым наполнителем	Нержавеющая сталь	26	0,6	100 (min)			56	<a href="#">ПАДИ-8-02</a> <a href="#">УДП-10-02</a>
 Имитация дефектов типа непроклея между обшивкой и сотовым наполнителем	Стекло-текстолит	20	0,7	100 (min)			40	<a href="#">ПАДИ-8-02</a> <a href="#">УДП-10-02</a>

Образец материала	Материал	Общая толщина, (мм)	Толщина обшивки (мм)	Площадь дефектов (мм <sup>2</sup> )	Конфигурация дефектов	Глубина залегания дефектов (мм)	Площадь сотовой ячейки (мм <sup>2</sup> )	Рекомендуемые преобразователи
 Имитация дефектов типа непрочлея между обшивкой и сотовым наполнителем	Алюминиевый сплав; сотовый наполнитель - гетинакс	10	0,8	100 (min)		8	48	<a href="#">ПАДИ-8-02</a> <a href="#">УДП-10-02</a>
 Имитация дефектов типа непрочлея при склейке двух металлических листов	Алюминиевый сплав	6	2,95	600 800 1000	Круглая		40	<a href="#">РС-1-02</a>
 Имитация дефектов типа непрочлея между обшивкой и сотовым наполнителем	Стекло-текстолит	12	1,2	120 (min)			35	<a href="#">ПАДИ-8-02</a> <a href="#">УДП-10-02</a>
 Имитация дефектов типа непрочлея между обшивкой и сотовым наполнителем	Стекло-текстолит	10			Клиновидная, параллельно поверхности	5		<a href="#">ПАДИ-8-02</a>
 Имитация дефектов типа непрочлея между обшивкой и сотовым наполнителем	Алюминиевый сплав	24	2	120			49	<a href="#">ПАДИ-8-02</a> <a href="#">УДП 10-02</a>
 Фрагмент лопасти вертолета, имитация непрочлея между структурными элементами	Алюминиевый сплав, резиновый слой, стальные ленты							<a href="#">ПАДИ-8-02</a> <a href="#">УДП-10-02</a> <a href="#">РС-1С</a>
 Имитация дефектов типа непрочлея между обшивкой и сотовым наполнителем	Стекло-текстолит	44	2	150 (min)			65	<a href="#">ПАДИ-8-02</a> <a href="#">УДП-10-02</a>
 Имитация дефектов типа непрочлея при склейке трех тонких металлических листов	Алюминиевый сплав	2,5	0,83	150 (min)				<a href="#">ПАДИ-8-02</a> <a href="#">УДП 10-02</a>

Образец материала	Материал	Общая толщина, (мм)	Толщина обшивки (мм)	Площадь дефектов (мм <sup>2</sup> )	Конфигурация дефектов	Глубина залегания дефектов (мм)	Площадь сотовой ячейки (мм <sup>2</sup> )	Рекомендуемые преобразователи
 <p>Имитация дефектов типа непрочности между обшивкой и сотовым наполнителем</p>	Углепластик	11	1	150 (min)			28	<a href="#">ПАДИ-8-02</a> <a href="#">УДП-10-02</a> <a href="#">РС 1-02</a>
 <p>Имитация дефектов типа непрочности между обшивкой и пенопластовым наполнителем</p>	Алюминиевый сплав, пенопластовый наполнитель	80	2	400 (min)			40	<a href="#">УДП-10-02</a>
 <p>Имитация дефектов типа непрочности между обшивкой и пенопластовым наполнителем</p>	Пластик, пенопластовый наполнитель	48	2	400 (min)				<a href="#">УДП-10-02</a>